

для сжатия с однородной деформацией ниже примерно в 6,35 раза коэффициента в (2). Таким образом, если допускать возможность создания произвольных начальных данных, исследованные автомодельные решения описывают более экономичную по энергетическим затратам сравнительно с [4—6] схему сжатия, приводящую к требуемому значению эффективности сжатия.

Указанным свойством обладают также изученные в данной работе решения, близкие к автомодельным: с более простыми, нежели автомодельное, начальными распределениями, с постоянным давлением на сжимающем поршне.

В заключение авторы выражают искреннюю признательность Н. В. Пулькиной за помощь в проведении расчетов.

Поступила 7 VII 1982

#### ЛИТЕРАТУРА

1. Забабахин П. Б., Симоненко В. А. Сферическая центрированная волна сжатия. — ПММ, 1978, т. 42, № 3.
2. Каждан Я. М. К вопросу об адиабатическом сжатии газа под действием сферического поршня. — ПМТФ, 1977, № 1.
3. Анисимов С. П., Иванов М. Ф., Иногамов Н. А. Динамика лазерного сжатия и нагрева простых мишеней. Препринт ИТФ АН СССР, 1977.
4. Змитренко Н. В., Курдюмов С. П. Автомодельный режим сжатия конечной массы плазмы. — ДАН СССР, 1974, т. 248, № 6.
5. Kidder R. E. Theory of homogeneous isentropic compression and its application to laser fusion. — Nuclear fusion, 1974, vol. 14, N 1.
6. Демченко В. В. Сравнительное исследование некоторых процессов сжатия. — ЖВММФ, 1979, т. 19, № 2.
7. Свалов А. М. К вопросу о сжатии сферических мишеней. — Изв. АН СССР. МЖГ, 1982, № 3.
8. Седов Л. И. Методы подобия и размерности в механике. М.: Наука, 1972.
9. Спитцер Л. Физика полностью ионизированного газа. М.: Мир, 1965.

УДК 533.6.011.8

### ТЕЧЕНИЕ РАЗРЕЖЕННОГО ГАЗА В ДЛИННОМ ОГРАНИЧЕННОМ КРУГЛОМ КАПИЛЛЯРЕ

*И. Г. Неудачин, К. Черчиньяни*

*(Свердловск, Милан)*

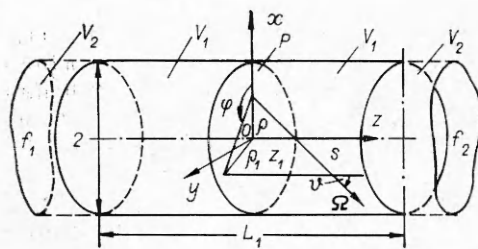
Течение Пуазейля в круглом капилляре неограниченной длины исследовалось численными [1] и вариационными методами [2, 3]. Работы по этой проблеме часто публикуются в трудах конференций по динамике разреженного газа (см., например, 4). Реально длина канала ограничена. В этом случае, как правило, рассматриваются частные задачи о течении газа в свободномолекулярном [5] и вязком режимах [6]. Поэтому представляет интерес решение задачи во всем диапазоне чисел Кнудсена  $Kn$  ( $Kn = \lambda_1/r$ , отношение средней длины свободного пробега молекул  $\lambda_1$  к радиусу капилляра  $r$ ).

Проблема несколько упрощается, если предположить, что канал длинный: отношение длины капилляра к его радиусу  $L_1 = l/r \gg 1$ . В качестве исходного уравнения для функции распределения молекул по скоростям выбрано уравнение БГК [7]. Решается линеаризованная задача путем сведения исходного уравнения к интегральному уравнению Фредгольма для средней скорости молекул. Решение последнего находится методом Галеркина [8, 9].

1. Пусть газ перетекает из первого сосуда во второй. Температуры газа в сосудах одинаковы, числовые плотности отличаются незначительно. Ось  $z$  ориентируем по направлению течения газа, как показано на фиг. 1. Оси  $x$  и  $y$  расположим в плоскости среднего поперечного сечения канала. Начало координат находится в центре капилляра.

Примем в качестве масштабов величины

$$r, n_1, h^{1/2} = (2RT_1)^{1/2}, T_1, n_1 h^{-3/2}, \eta_1 = n_1 m v \lambda_1 / 2$$



Ф и г. 1

для длины, числовой плотности газа, средней скорости газа  $u$  и скорости молекулы  $c$ , температуры  $T$ , функции распределения молекул по скоростям  $f$  и для вязкости  $\eta$  соответственно. Здесь  $R$  — газовая постоянная;  $v = (8RT_1/\pi)^{1/2}$ ;  $\lambda_1 = (\sqrt{2}\pi n_1 \sigma^2)^{-1}$ ;  $m$  — масса молекулы;  $\sigma$  — диаметр молекулы. Индексом 1 отмечены параметры газа в первом сосуде, индексом 2 — во втором.

Молекулы из первого сосуда через сечение  $z = -L$  ( $L = L_1/2$ ) попадают в канал с функцией распределения  $f_1$ , а из второго сосуда — через сечение  $z = L$  с функцией распределения  $f_2$ . Рассматривается диффузное отражение частиц от стенок канала. Их функция распределения равна  $f_3$ . Она задана в предположении, что плотность газа линейно зависит от координаты  $z$ :

$$(1.1) \quad f_1 = \pi^{-3/2} \exp(-c^2), \quad f_2 = n_2 f_1, \quad f_3 = [1 - K(L+z)]f_1, \\ K = (1 - n_2)/L_1.$$

Условия (1.1) являются граничными для уравнения БГК [10]. Они определяют функции распределения молекул, скорости которых направлены внутрь капилляра:

$$(1.2) \quad c \partial f / \partial s = \delta n (f_0 - f), \quad f_0 = f_1 (1 + v + 2cu), \\ n = 1 + v, \quad v = -K(L+z), \quad \delta = \sqrt{\pi}/2K\pi.$$

Здесь  $f_0$  — линеаризованная локальная максвелловская функция распределения молекул;  $n$  — числовая плотность молекул газа;  $s$  — радиус-вектор точки наблюдения с направлением  $\Omega$  ( $\Omega$  — единичный вектор в направлении скорости  $c = c\Omega$ ). Сделано предположение, что модуль средней скорости газа  $u \ll 1$  и абсолютная величина возмущения числовой плотности  $|v| \ll 1$ . Представим искомую функцию распределения в виде  $f = f_1(1 + v + h_1)$ , где возмущение функции распределения  $|h_1| \ll 1$ .

Будем считать, что вследствие большой длины канала можно пренебречь концевыми эффектами и  $u$  имеет только одну составляющую, направленную по оси  $z$ . Тогда скорость не будет зависеть от координаты  $z$  и все поперечные сечения канала станут равноправными. Поэтому можно выбрать для исследования сечение  $z = 0$ . В такой постановке задачи средняя скорость газа зависит только от одной координаты — расстояния  $\rho$  от точки наблюдения до оси  $z$ . Воспользовавшись определением средней скорости газа через функцию распределения

$$u = \int f c \cos \vartheta dc, \quad dc = c^2 dc d\Omega, \quad d\Omega = \sin \vartheta d\vartheta d\varphi$$

и уравнением (1.2), получим интегральное уравнение для определения средней скорости молекул в направлении оси  $z$ :

$$(1.3) \quad u = \pi^{-3/2} \int_{V_1} (K + 2\delta u) I_3(\delta s) \cos^2 \vartheta ds d\Omega,$$

где  $V_1$  — объем канала;  $\vartheta$  — угол между вектором  $\Omega$  и осью  $z$ ;  $s$  — модуль радиуса-вектора  $s$ ;  $\varphi$  — полярный угол в плоскости  $z = 0$  (см. фиг. 1). В интегральное уравнение Фредгольма второго рода (1.3) входит интеграл Абрамовица [11, 12]  $I_3$ . В общем случае этот интеграл определяется следующим образом:

$$I_m(t) = \int_0^\infty c^m \exp(-c^2 - t/c) dc.$$

2. Для решения уравнения (1.3) применим метод Галеркина [8]. В качестве базовых выберем функции 1 и  $\rho^2$ , где  $\rho^2 = x^2 + y^2$ . Разложение средней скорости в системе базовых функций имеет вид

$$(2.1) \quad u/K = C - D\rho^2,$$

где  $C$  и  $D$  — коэффициенты разложения, зависящие от параметров  $\delta$  и  $L$ . Подставляя выражение (2.1) в уравнение (1.3), после интегрирования по среднему поперечному сечению  $P$  (см. фиг. 1) с весами 1 и  $\rho^2$  получим систему линейных алгебраических уравнений для определения неизвестных коэффициентов  $C$  и  $D$ :

$$(2.2) \quad b_{11}C + b_{12}D = b_1, \quad b_{21}C + b_{22}D = b_2.$$

Коэффициенты  $b_{ij}$  и  $b_i$  содержат кратные интегралы

$$(2.3) \quad b_{ij} = \frac{(-1)^{i+1}}{2(i+j-1)} + c_{ij}, \quad b_i = \frac{c_{i1}}{2\delta}, \quad i, j = 1, 2,$$

$$c_{ij} = (-1)^{j+1} \frac{8\delta}{r^{3/2}} \int_0^1 \rho^{2i-1} d\rho \int_{V_1/4} I_3(\delta s) \rho_1^{2(j-1)} \cos^2 \vartheta ds d\Omega,$$

где  $\rho_1^2 = \rho^2 \sin^2 \vartheta + \rho^2 - 2\rho(\rho - \rho_0 \cos \varphi_0) s/s_0$  (индекс 0 относится к координатам точки на поверхности объема капилляра  $V_1$ ). Вследствие симметрии по координате  $z$  и углу  $\varphi$  интегрирование выполняется по одной четвертой части объема. Зная величины  $C$  и  $D$ , можно определить приведенный расход газа:

$$(2.4) \quad Q = \frac{4}{K} \int_0^1 \rho u d\rho = 2C - D.$$

Результаты расчетов по формуле (2.4) проиллюстрированы на фиг. 2. Кривые 1—4 соответствуют длинам каналов  $L_1 = \infty; 40; 20; 10$ . Время вычисления на ЭВМ значительно сокращается, если воспользоваться разложением  $I_3(\delta s)$  в ряд по степеням  $\delta s$  при условии, что  $\delta L \leq 2$  [11, 12].

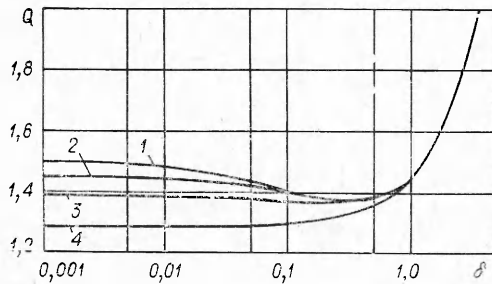
Для больших значений произведения  $\delta L > 2$  удобно воспользоваться асимптотическим представлением интегралов Абрамовица. С этой целью в каждом из коэффициентов  $b_{ij}$ ,  $b_i$  выделяется часть, дающая коэффициенты  $a_{ij}$  для уравнений, определяющих решение, т. е. коэффициенты  $C$  и  $D$ , для неограниченного длинного канала:

$$(2.5) \quad a_{ij} = \frac{(-1)^{i+1}}{2(i+j-1)} + J_{ij}, \quad a_i = \frac{1}{2\delta} J_{1i}.$$

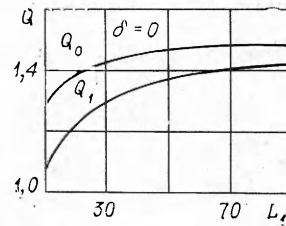
Символами  $J_{ij}$  обозначены определенные интегралы

$$J_{ij} = (-1)^i \frac{2\delta}{\pi} \int_0^1 \rho^{2j-1} d\rho \int_{P/2} \rho_1^{2(i-1)} I_0(\delta s) ds d\varphi,$$

где  $\rho_1^2 = \rho^2 + s^2 + 2\rho s \cos \varphi$ . Вследствие симметрии по углу  $\varphi$  интегрирование выполняется по половине поперечного сечения канала  $P$  (см. фиг. 1).



Фиг. 2



Фиг. 3

$\delta$	0	0,01	0,1	1,0	2,0	3,0	4,0	5,0
$Q$	1,5045	1,4763	1,4039	1,4576	1,6559	1,8772	2,1079	2,3438
$Q_2$	1,5045	1,4768	1,4043	1,4594	1,6608	1,8850	2,1188	2,3578
$Q_3$	1,5045	1,4801	1,4039	1,4576	1,6559	1,8772	2,1079	2,3438

Тогда коэффициенты системы уравнений (2.2) представляются в виде

$$b_{ij} = a_{ij} + c'_{ij}, \quad b_i = a_i - c'_{i1}/(2\delta).$$

Величины  $c'_{ij}$  содержат интегралы по объему  $V_2$ , дополняющему рассматриваемый канал до бесконечно длинного. Формула для определения  $c'_{ij}$  получается из соотношения для  $c_{ij}$  в (2.3) путем замены  $V_1$  на  $V_2$ .

3. Представляет интерес исследование поведения приведенного расхода  $Q$  (2.4) в тех случаях, когда параметр разреженности  $\delta$  принимает предельно большие и предельно малые значения. При стремлении  $\delta$  к нулю, что соответствует свободномолекулярному режиму течения газа, получаем

$$Q = Q_0 - \delta \ln L_1 + 3,044\delta - 3,395\delta/L \quad (\delta L \ll 1).$$

Здесь величина  $Q_0$  представляет собой расход газа через канал длиной  $L_1$  в свободномолекулярном режиме течения:

$$Q_0 = [L^3 - \sqrt{(4 + L^2)^3 + 6L + 8}]/(3\sqrt{\pi}).$$

Этот результат отличается от более точной формулы [5]

$$Q_1 = \frac{2L_1}{\sqrt{\pi}} \left\{ 1 + L^2 - L\sqrt{1 + L^2} - \frac{2}{9} \frac{[L^3 - 2 + (2 - L^2)\sqrt{1 + L^2}]^2}{L\sqrt{1 + L^2} - \operatorname{arsh} L} \right\}.$$

Ошибка составляет 19% при  $L_1 = 10$  и затем уменьшается до нуля при увеличении длины канала (фиг. 3). Эта неточность может быть устранена, если дополнить уравнение (1.3) условием непротекания газа на стенке, которое в свободномолекулярном режиме течения превратится в уравнение Клаузинга [13].

В том случае, когда произведение  $\delta L$  значительно больше единицы, легко получить формулы, содержащие хорошо известные выражения

$$(3.1) \quad Q = \frac{8}{3\sqrt{\pi}} + \delta \ln \delta - \frac{\delta}{\sqrt{3}t} \exp(-3t) \quad (\delta L \gg 1, \delta \ll 1);$$

$$(3.2) \quad Q = \frac{\delta}{4} + \frac{4 + \pi}{4\sqrt{\pi}} - \frac{\delta^3}{\sqrt{3}L^2} t^2 \exp(-3t) \quad (\delta L \gg 1, \delta \gg 1),$$

где  $t = (\delta L/2)^{2/3}$ . Первые слагаемые в формулах (3.1), (3.2) соответствуют значениям расхода газа через неограниченно длинный канал в свободномолекулярном и вязком режимах течения соответственно [14]. Последние слагаемые очень быстро убывают с ростом  $\delta L$ .

Решение  $Q$ , следующее из соотношений (2.5) для бесконечно длинного капилляра (см. таблицу), хорошо согласуется с известными данными [1, 2]  $Q_2$  и  $Q_3$ , которые получены численным и вариационным методами соответственно.

Результаты решения могут быть уточнены при учете влияния зон около входа и выхода канала [6].

Поступила 7 VII 1982

## ЛИТЕРАТУРА

1. Cercignani C., Sernagiotto F. Cylindrical Poiseuille flow of rarefied gas.— Phys. Fluids, 1966, vol. 9, N 11.
2. Cercignani C., Pagani C. D. Variational approach to rarefied flows in cylindrical and spherical geometry.— In: Rarefied Gas Dynamics, 5 th. Brundin C. L. ed., 1967, vol. 1.
3. Ferziger J. H. Flow of a rarefied gas through a cylindrical tube.— Phys. Fluids, 1967, vol. 10, № 7.
4. Edwards R. H. Low-density flows through tubes and nozzles.— In: Progress in Astronautics and Aeronautics: Rarefied Gas Dynamics, 10th. N. Y., 1977, vol. 51, pt 1.
5. De Marcus W. C. Report K-1302, Union Carbide Nuclear Company, Oak Ridge, Tennessee, 1956.
6. Weissberg H. L. End correction for slow viscous flow through long tubes.— Phys. Fluids, 1962, vol. 5, N 9.
7. Bhatnagar P. L., Gross E. P. Krook M. A. A model for collision process in gases.— Phys. Rev., 1954, vol. 94, N 3.
8. Михлин С. Г. Вариационные методы в математической физике. М.: Наука, 1970.
9. Cercignani C., Neudacini I. Rarefied gas flow through long slots.— J. Appl. Math. and Phys., 1979, vol. 30, p. 943.
10. Коган М. Н. Динамика разреженного газа. М.: Наука, 1967.
11. Abramowitz M. Evaluation of the integral  $\int_0^{\infty} \exp(-u^2 - x/u) du$ .— J. Math. and Phys., 1953, vol. 32, p. 188.
12. Справочник по специальным функциям/Под ред. М. Абрамовица и И. Стигана. М.: Наука, 1979.
13. Clausing P. Über die Strömung sehr verdünnter Gas durch Röhren von beliebiger Länge.— Ann. Phys., 1932, N. 8, N 12.
14. Черчиньяни К. Теория и приложения уравнения Больцмана. М.: Мир, 1978

УДК 532.5 : 533.6.011.32 : 532.582.33

## ТЕЧЕНИЕ ОКОЛО ОСЕСИММЕТРИЧНЫХ ТЕЛ С ТРЕМЯ УЧАСТКАМИ ПОСТОЯННОЙ СКОРОСТИ

*Л. А. Кожуро*

(Москва)

Представляет интерес определение формы толстых осесимметричных тел, имеющих при заданном объеме небольшую площадь поверхности и в то же время достаточно высокое значение критического числа Маха при небольшом перепаде давления на поверхности тел, что позволило бы реализовать их безотрывное обтекание.

Как известно [1], при заданных длине и объеме осесимметричного тела максимальное значение критического числа Маха достигается в случае, когда тело состоит из двух дисков, соединенных поверхностью, скорость на которой везде звуковая. Аналогом этого течения в несжимаемой жидкости является течение Рябушинского для диска. Однако обеспечить безотрывное обтекание такого тела ввиду большой величины перепада давления на его поверхности чрезвычайно трудно.

Как было показано С. А. Чаплыгиным [2] для случая плоского течения, любую критическую точку на поверхности тела можно заменить примыкающей к телу конечной областью с покоящейся жидкостью. Течения такого типа для цилиндра и сферы были впервые получены в [3]. Как и всякие течения со свободными границами, такие течения обладают рядом экстремальных свойств. Отметим некоторые из них. Пусть рассматривается потенциальное обтекание плоского тела, симметричного относительно оси  $x$ , или осесимметричного тела с осью симметрии  $x$ . На бесконечности — однородный поток, направленный вдоль этой оси. Пусть кривая  $L$  — фиксированная часть контура тела в верхней полуплоскости, а  $L_*$  — варьируемая часть контура тела, соединяющая точку  $M_*$  на оси симметрии  $x$  с точкой  $M$  на контуре  $L$ . В осесимметричном случае  $L$  и  $L_*$  — сечения фиксированной и варьируемой поверхностей тела меридиональной плоскостью. В [4] показано, что при заданном положении точки  $M$ , достаточно близком к оси симметрии, максимальное значение квадрата скорости на варьируемой части тела  $L_*$  достигает минимума тогда и только тогда, когда скорость на  $L_*$  везде постоянна, т. е. когда  $L_*$  является свободной линией тока. Доказательство этого результата основано на использовании принципа максимума для функций тока плоских и осесимметричных течений. Аналогичным путем можно показать, что такие течения имеют еще одно экстремальное свойство: при заданном положении точки  $M_*$  на оси симметрии  $x$  минимальное значение квадрата скорости на варьируемой части тела  $L_*$  достигает максимума тогда и только тогда, когда кривая  $L_*$  является сво-